

МАТЕМАТИЧЕН МОДЕЛ ЗА ДВИЖЕНИЕ НА ДВУОСНА ТАЛИГА В КРИВ УЧАСТЪК ОТ ПЪТЯ

Веселин Емилов Стоянов

ves@vtu.bg

**ВТУ „Тодор Каблешков”
София 1574, ул. „Гео Милев” 154, България**

Ключови думи: железопътна талига, математичен модел, движение в крива

Резюме: Проведено е изследване и е разработен математичен модел за движение в крива на железопътен двуосен екипаж. Създаден и използван е опростен равнинен модел с повишена точност, чрез въвеждането на коригиращ фактор. Съставен е спомагателен модел, чрез който са определени координатите на контактните точки и свързаните с тях величини.

Въведение

За провеждане на теоретични и експериментални изследвания на железопътен екипаж (локомотиви, вагони или отделни талиги) е необходимо съставянето на математични модели за квазистатично вписване и реализирането им за различни параметри на еластичност.

В хода на изследването се решават следните по-важни задачи:

- определяне разположението на колоосите в кривата респ. хлабините “реборд - релса” и ъглите на атака между колелата и релсите;
- определяне разположението на екипажа като цяло включително относителните хоризонтални премествания напречно и надлъжно на колоосите (буксите) спрямо рамата, съответните хоризонтални усилия между тях;
- определяне на нормалните и тангенциални усилия, предавани между колелата и релсите и хоризонталната деформация на последните.

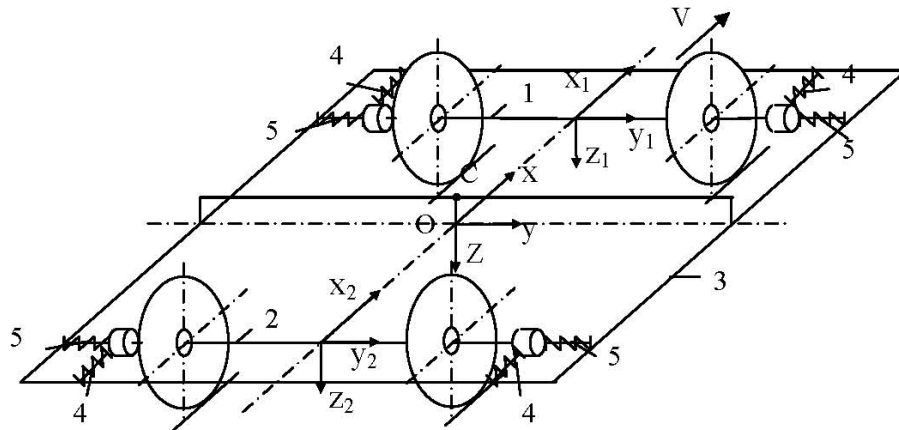
Основни постановки

Нека разгледаме механичната система „талига-колооси-релси”, представена на фиг.1 и фиг.2.

В така определената система са зададени:

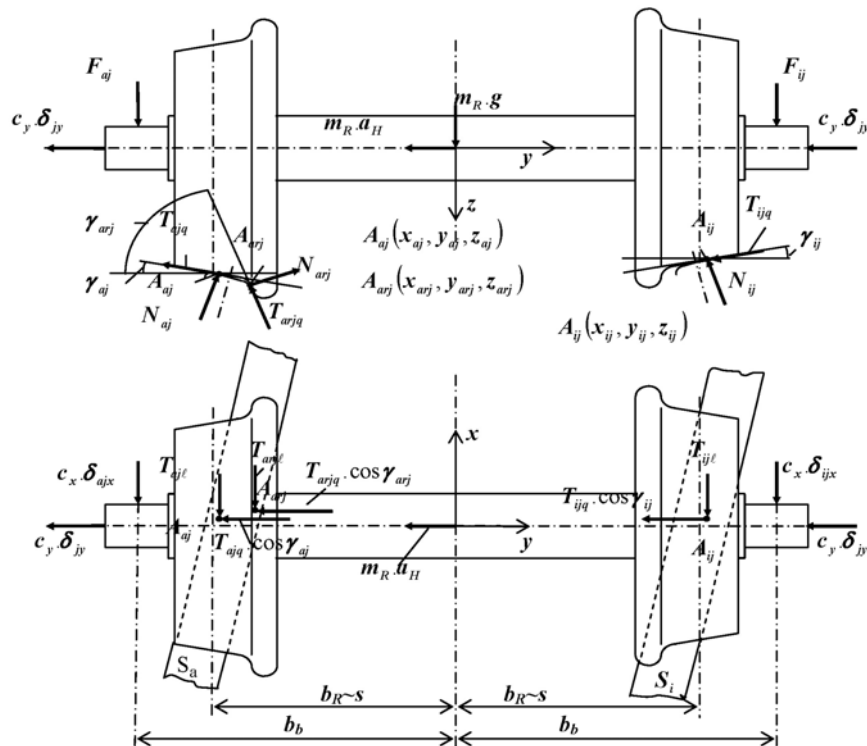
- общите параметри на екипажа (талигата), включително бандажния профил и хоризонталните деформационно-силови характеристики на връзките на колоосите (респ. буксите) с рамата;
- основните параметри на железния път (типа на релсите, профила на релсовите глави, уширението в кривата, хоризонталната еластичност на релсите

и експлоатационните фактори на движението (скорост, радиус на кривата и некомпенсирано напречно ускорение)



фиг.1 Общ вид на елементите на талигата

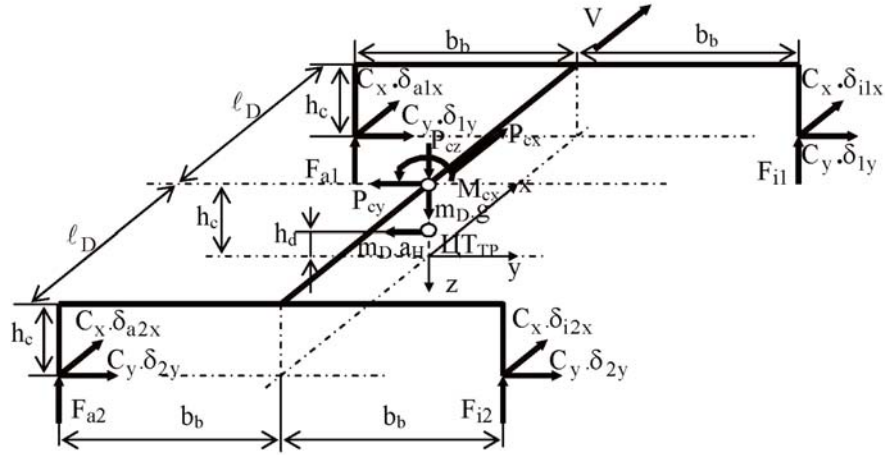
1,2 – колооси. 3 рама. 4,5 еластични буксови връзки



фиг.2 Сили, действащи върху колоос „j” в поглед отзад и отгоре

Съставяне на системата уравнения

Първата група зависимости (силови уравнения) се изразяват с условията за равновесие на 3-те тела от разглежданата механична система – колоос №1, колоос №2 и рамата (фиг.1, фиг.2 и фиг.3).



фиг.3 Сили действащи върху талиговата рама

Надлъжната, напречната и вертикалната компонента на относителната скорост на плъзгане в контактните точки е изведена в [1]. Съответните компоненти на тангенциалната сила на плъзгане T_{kj} са изразени чрез умножаване на компонентите на относителната скорост на плъзгане с обобщения коефициент на крип K със съответните индекси в зависимост от направлението, а при някои хипотези – и от местоположението на контактните точки. Навсякъде в уравненията координатата z_{kj} е заменена със съответния радиус r_{kj} – съгласно направената уговорка (пак в [1]). Надлъжната координата на всички контактни точки в тези уравнения е приета да бъде равна на нула. При горните условия уравненията, изразяващи условията за равновесие на 3-те тела от разглежданата механична система имат следния вид:

$$(1) \quad K_{a1x} \cdot \left(1 - \frac{y_{a1}}{R} - \frac{r_{a1}}{r_{e1}}\right) + K_{i1x} \cdot \left(1 - \frac{y_{i1}}{R} - \frac{r_{i1}}{r_{e1}}\right) + K_{ar1x} \cdot \left(1 - \frac{y_{ar1}}{R} - \frac{r_{ar1}}{r_{e1}}\right) + C_x \cdot (\delta_{a1x} + \delta_{i1x}) = 0$$

$$(2) \quad N_{a1} \cdot \sin \gamma_{a1} + N_{i1} \cdot \sin \gamma_{i1} - K_{a1y} \cdot \alpha_1 - K_{i1y} \cdot \alpha_1 + N_{ar1} \cdot \sin \gamma_{ar1} - K_{ar1y} \cdot \alpha_1 - 2 \cdot C_y \cdot \delta_{1y} - m_R \cdot a_H = 0$$

$$(3) \quad -N_{a1} \cdot \cos \gamma_{a1} - N_{i1} \cdot \cos \gamma_{i1} - K_{a1y} \cdot \alpha_1 \cdot \operatorname{tg} \gamma_{a1} - K_{i1y} \cdot \alpha_1 \cdot \operatorname{tg} \gamma_{i1} - \\ - N_{ar1} \cdot \cos \gamma_{ar1} - K_{ar1y} \cdot \alpha_1 \cdot \operatorname{tg} \gamma_{ar1} + F_{a1} + F_{i1} + m_R \cdot g = 0$$

$$(4) \quad - (N_{a1} \cdot \cos \gamma_{a1} + K_{a1y} \cdot \alpha_1 \cdot \operatorname{tg} \gamma_{a1}) \cdot y_{a1} - (N_{i1} \cdot \cos \gamma_{i1} - K_{i1y} \cdot \alpha_1 \cdot \operatorname{tg} \gamma_{i1}) \cdot y_{i1} - \\ - (N_{a1} \cdot \sin \gamma_{a1} - K_{a1y} \cdot \alpha_1) \cdot r_{a1} + (N_{i1} \cdot \sin \gamma_{i1} + K_{i1y} \cdot \alpha_1) \cdot r_{i1} - \\ - (N_{ar1} \cdot \cos \gamma_{ar1} + K_{ar1y} \cdot \alpha_1 \cdot \operatorname{tg} \gamma_{ar1}) \cdot y_{ar1} - (N_{ar1} \cdot \sin \gamma_{ar1} - K_{ar1y} \cdot \alpha_1) \cdot r_{ar1} - (F_{a1} - F_{i1}) \cdot b_b = 0$$

$$(5) \quad K_{a1x} \cdot \left(1 - \frac{y_{a1}}{R} - \frac{r_{a1}}{r_{e1}}\right) \cdot r_{a1} + K_{i1x} \cdot \left(1 - \frac{y_{i1}}{R} - \frac{r_{i1}}{r_{e1}}\right) \cdot r_{i1} + K_{ar1x} \cdot \left(1 - \frac{y_{ar1}}{R} - \frac{r_{ar1}}{r_{e1}}\right) \cdot r_{ar1} = 0$$

$$(6) \quad \mathbf{K}_{a1x} \cdot \left(1 - \frac{y_{a1}}{\mathbf{R}} - \frac{\mathbf{r}_{a1}}{\mathbf{r}_{e1}}\right) \cdot y_{a1} + \mathbf{K}_{i1x} \cdot \left(1 - \frac{y_{i1}}{\mathbf{R}} - \frac{\mathbf{r}_{i1}}{\mathbf{r}_{e1}}\right) \cdot y_{i1} + \mathbf{K}_{ar1x} \cdot \left(1 - \frac{y_{ar1}}{\mathbf{R}} - \frac{\mathbf{r}_{ar1}}{\mathbf{r}_{e1}}\right) \cdot y_{ar1} - \\ - \mathbf{b}_b \cdot \mathbf{C}_x \cdot (\delta_{a1x} - \delta_{i1x}) = 0$$

$$(7) \quad \mathbf{K}_{a2x} \cdot \left(1 - \frac{y_{a2}}{\mathbf{R}} - \frac{\mathbf{r}_{a2}}{\mathbf{r}_{e2}}\right) + \mathbf{K}_{i2x} \cdot \left(1 - \frac{y_{i2}}{\mathbf{R}} - \frac{\mathbf{r}_{i2}}{\mathbf{r}_{e2}}\right) + \mathbf{K}_{ar2x} \cdot \left(1 - \frac{y_{ar2}}{\mathbf{R}} - \frac{\mathbf{r}_{ar2}}{\mathbf{r}_{e2}}\right) + \\ + \mathbf{C}_x \cdot (\delta_{a2x} + \delta_{i2x}) = 0$$

$$(8) \quad \mathbf{N}_{a2} \cdot \sin \gamma_{a2} - \mathbf{N}_{i2} \cdot \sin \gamma_{i2} - \mathbf{K}_{a2y} \cdot \alpha_2 - \mathbf{K}_{i2y} \cdot \alpha_2 + \mathbf{N}_{ar2} \cdot \sin \gamma_{ar2} - \mathbf{K}_{ar2y} \cdot \alpha_2 - \\ - 2 \cdot \mathbf{C}_y \cdot \delta_{2y} - \mathbf{m}_R \cdot \mathbf{a}_H = 0$$

$$(9) \quad -\mathbf{N}_{a2} \cdot \cos \gamma_{a2} - \mathbf{N}_{i2} \cdot \cos \gamma_{i2} - \mathbf{K}_{a2y} \cdot \alpha_2 \cdot \operatorname{tg} \gamma_{a2} + \mathbf{K}_{i2y} \cdot \alpha_2 \cdot \operatorname{tg} \gamma_{i2} - \mathbf{N}_{ar1} \cdot \cos \gamma_{ar2} - \\ - \mathbf{K}_{ar2y} \cdot \alpha_2 \cdot \operatorname{tg} \gamma_{ar2} + \mathbf{F}_{a2} + \mathbf{F}_{i2} + \mathbf{m}_R = 0$$

$$(10) \quad -(\mathbf{N}_{a2} \cdot \cos \gamma_{a2} + \mathbf{K}_{a2y} \cdot \alpha_2 \cdot \operatorname{tg} \gamma_{a2}) \cdot y_{a2} - (\mathbf{N}_{i2} \cdot \cos \gamma_{i2} - \mathbf{K}_{i2y} \cdot \alpha_2 \cdot \operatorname{tg} \gamma_{i2}) \cdot y_{i2} - \\ - (\mathbf{N}_{a2} \cdot \sin \gamma_{a2} - \mathbf{K}_{a2y} \cdot \alpha_2) \cdot \mathbf{r}_{a2} + (\mathbf{N}_{i2} \cdot \sin \gamma_{i2} + \mathbf{K}_{i2y} \cdot \alpha_2) \cdot \mathbf{r}_{i2} - (\mathbf{N}_{ar2} \cdot \cos \gamma_{ar2} + \\ + \mathbf{K}_{ar2y} \cdot \alpha_2 \cdot \operatorname{tg} \gamma_{ar2}) \cdot y_{ar2} - (\mathbf{N}_{ar2} \cdot \sin \gamma_{ar2} - \mathbf{K}_{ar2y} \cdot \alpha_2) \cdot \mathbf{r}_{ar2} - (\mathbf{F}_{a2} - \mathbf{F}_{i2}) \cdot \mathbf{b}_b = 0$$

$$(11) \quad \mathbf{K}_{a2x} \cdot \left(1 - \frac{y_{a2}}{\mathbf{R}} - \frac{\mathbf{r}_{a2}}{\mathbf{r}_{e2}}\right) \cdot \mathbf{r}_{a2} + \mathbf{K}_{i2x} \cdot \left(1 - \frac{y_{i2}}{\mathbf{R}} - \frac{\mathbf{r}_{i2}}{\mathbf{r}_{e2}}\right) \cdot \mathbf{r}_{i2} + \mathbf{K}_{ar2x} \cdot \left(1 - \frac{y_{ar2}}{\mathbf{R}} - \frac{\mathbf{r}_{ar2}}{\mathbf{r}_{e2}}\right) \cdot \mathbf{r}_{ar2} = 0$$

$$(12) \quad \mathbf{K}_{a2x} \cdot \left(1 - \frac{y_{a2}}{\mathbf{R}} - \frac{\mathbf{r}_{a2}}{\mathbf{r}_{e2}}\right) \cdot y_{a2} + \mathbf{K}_{i2x} \cdot \left(1 - \frac{y_{i2}}{\mathbf{R}} - \frac{\mathbf{r}_{i2}}{\mathbf{r}_{e2}}\right) \cdot y_{i2} + \\ + \mathbf{K}_{ar2x} \cdot \left(1 - \frac{y_{ar2}}{\mathbf{R}} - \frac{\mathbf{r}_{ar2}}{\mathbf{r}_{e2}}\right) \cdot y_{ar2} - \mathbf{b}_b \cdot \mathbf{C}_x \cdot (\delta_{a2x} - \delta_{i2x}) = 0$$

$$(13) \quad \mathbf{C}_x \cdot \delta_{a1x} + \mathbf{C}_x \cdot \delta_{i1x} + \mathbf{C}_x \cdot \delta_{a2x} + \mathbf{C}_x \cdot \delta_{i2x} + \mathbf{P}_{cx} = 0$$

$$(14) \quad \mathbf{C}_y \cdot \delta_{1y} + \mathbf{C}_y \cdot \delta_{1y} + \mathbf{C}_y \cdot \delta_{2y} + \mathbf{C}_y \cdot \delta_{2y} - \mathbf{P}_{cy} - \mathbf{m}_D \cdot \mathbf{a}_H = 0$$

$$(15) \quad -\mathbf{F}_{a1} - \mathbf{F}_{i1} - \mathbf{F}_{a2} - \mathbf{F}_{i2} + \mathbf{P}_{cz} + \mathbf{m}_D \cdot \mathbf{g} = 0$$

$$(16) \quad (\mathbf{F}_{a1} - \mathbf{F}_{i1}) \cdot \mathbf{b}_b + (\mathbf{F}_{a2} - \mathbf{F}_{i2}) \cdot \mathbf{b}_b - \mathbf{M}_{cx} - \mathbf{P}_{cy} \cdot \mathbf{h}_c - \mathbf{m}_D \cdot \mathbf{a}_H \cdot \mathbf{h}_D = 0$$

$$(17) \quad (\mathbf{F}_{a1} + \mathbf{F}_{i1}) \cdot \ell_D - (\mathbf{F}_{a2} + \mathbf{F}_{i2}) \cdot \ell_D = 0$$

$$(18) \quad \mathbf{C}_x \cdot \delta_{a1x} \cdot \mathbf{b}_b - \mathbf{C}_x \cdot \delta_{i1x} \cdot \mathbf{b}_b + \mathbf{C}_x \cdot \delta_{a2x} \cdot \mathbf{b}_b - \mathbf{C}_x \cdot \delta_{i2x} \cdot \mathbf{b}_b + 2\mathbf{C}_y \cdot \delta_{1y} \cdot \ell_D - 2\mathbf{C}_y \cdot \delta_{2y} \cdot \ell_D = 0$$

където:

\mathbf{R} - радиус на кривата по оста на пътя;

$y_{kj}, \mathbf{r}_{kj}, \gamma_{kj}$ - напречна координата на контактната точка \mathbf{A}_{kj} , респ. радиус на

търкаляне и ъгъл на наклона спрямо хоризонталата при $\alpha_j = 0$

$\mathbf{r}_{ej}, \alpha_j$ - еквивалентен радиус респ. ъгъл на атака на колооста;

δ_{jy}, C_y - напречно преместване на колооста спрямо рамата респ. напречна коравина на буксовата връзка;

δ_{kx}, C_x - надлъжно преместване на буксата спрямо рамата респ. надлъжна коравина на буксовата връзка;

m_R, m_D - маса на колооста респ талигата;

a_H, g - некомпенсирано центробежно ускорение респ. земно ускорение;

$2b_b, 2\ell_D$ - напречно разстояние между буксите респ. база на талигата;

F_{kj} - вертикална сила, предавана от рамата върху буксата;

N_{kj} - нормална сила в точката на контакта, предавана върху колелото;

$P_{cy}, P_{cz}, P_{cx}, M_{cx}$ - напречна, вертикална и надлъжна сила и въртящ момент, редуцирани към централния лагер или страничните плъзгалки на талигата;

h_C, h_D - височина на централния лагер, респ. на масовия център на талиговата рама спрямо равнината, определена от осите на колосите.

Втората група уравнения представляват аналитични изрази за ъгъла на атака между колелата и релсите в зависимост от всички хоризонтални премествания в механичната система „рама-колооси-релси”. Това са хлабините между ребордите и външната релса σ_i , хоризонталните премествания между буксите и рамата в надлъжно и напречно направление, съответно $\delta_{a1x}; \delta_{i1x}, \delta_{a2x}$ и δ_{i2x} и δ_{1y}, δ_{2y} , а също и хоризонталните деформации на релсата - δ_{s1} и δ_{s2} .

За осигуряване на удобство и възможности за разглеждане на по-сложни случаи – талиги с еластично свързани с рамата колооси (букси) в хоризонталната равнина, не се използват понятията „полюси” и „полюсни разстояния”. Съответните зависимости са изведени на базата на всички хоризонтални премествания в механичната система. Използва се принципа на суперпозицията – последователно наслагване на измененията на ъгъла на атака, предизвикани от различните видове премествания.

При разглеждане на условна талига с твърдо свързани с рамата колооси в хоризонтално направление, за условно хордово разположение $A_R^0 B_R^0$ (фиг.4) на тази талига, при големина на хлабината „реборд – външна релса” $\sigma_1 = 0$ и $\sigma_2 = 0$, ъгълът на атака α_1^0 (за първа колоос) и α_2^0 (за втора) съобразно посоката на движение) ще бъде:

$$(19) \quad \alpha_1^0 = \frac{\ell_D}{R}; \quad \alpha_2^0 = -\frac{\ell_D}{R},$$

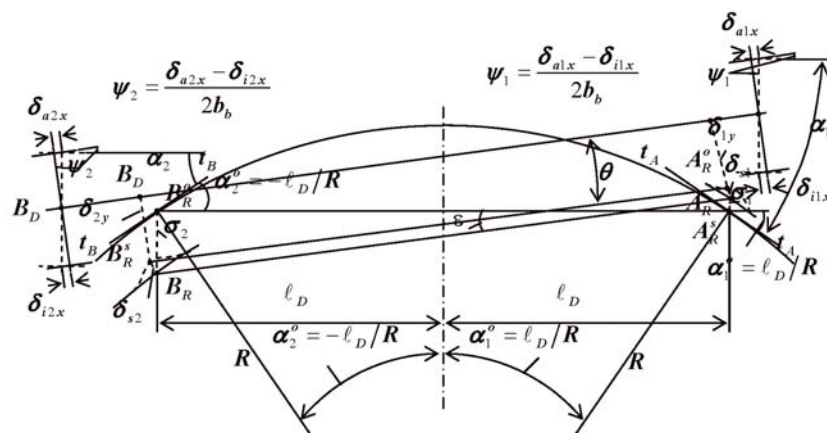
а за междинното положение на свободно установяване $A_R B_R$, като се отчете завъртането на талигата на ъгъл ε ($\varepsilon = \frac{\sigma_2 - \sigma_1}{2\ell_D}$) спрямо условното хордово разположение, се получава:

$$(20) \quad \alpha_1^M = \frac{\ell_D}{R} + \frac{\sigma_2 - \sigma_1}{2\ell_D}, \quad \alpha_2^M = -\frac{\ell_D}{R} + \frac{\sigma_2 - \sigma_1}{2\ell_D}$$

При отчитане на напречните хоризонтални деформации δ_{s1} и δ_{s2} на външната релса в местата на колоосите, към изразите за ъгъла на атака трябва да

бъде добавен обусловеният от тези деформации ъгъл на допълнително завъртане на надлъжната ос на талигата, $\frac{\delta_{s1} - \delta_{s2}}{2\ell_D}$, където положителен знак имат деформациите в посока навън от кривата (положение $A_R^s B_R^s$).

При еластично свързани с рамата букси в хоризонтално направление, ако напречните им премествания спрямо рамата са δ_{1y} и δ_{2y} , то кинематичната надлъжна ос на талигата $A_R^s B_R^s$, определена от средите на колоосите, няма да съвпада с оста на талиговата рама ($A_D B_D$ – фиг.4) и двете оси ще сключват помежду си ъгъл $\theta = \frac{\delta_{1y} - \delta_{2y}}{2\ell_D}$, който ще се добави към споменатите по-горе ъгли и ако стойността му е положителна, ще увеличи ъглите на атака α_1 и α_2 .



фиг.4. Схема за определяне геометричните изрази за ъгъла на атака между колелата и релсата в зависимост от разположението на талигата в крива и преместванията на колоосите спрямо рамата

При отчитане и на надлъжните премествания спрямо рамата $\delta_{a1x}, \delta_{i1x}, \delta_{a2x}$ и δ_{i2x} на буксите, отстоящи напречно на разстояние $2b_b$, от тях се получава допълнителен ъгъл на завъртане на колоосите спрямо рамата, съставляващ $\psi_1 = \frac{\delta_{a1x} - \delta_{i1x}}{2b_b}$ и $\psi_2 = \frac{\delta_{a2x} - \delta_{i2x}}{2b_b}$ съответно за 1-ва и 2-ра колооси, който ъгъл следва да се извади от формираната до тук сума. Ако съществува хоризонтална ко̀са деформация на талиговата рама на ъгъл ξ_j с положителна посока по часовниковата стрелка (при разглежданото движение), той също следва да се извади от формираната до тук сума. Отчитането на ъгъла ξ_j е възможно, ако към системата се добави още едно уравнение:

$$(21) \quad C_x \cdot \delta_{a1x} \cdot b_b - C_x \cdot \delta_{i1x} \cdot b_b + C_x \cdot \delta_{a2x} \cdot b_b - C_x \cdot \delta_{i2x} \cdot b_b + 2C_y \cdot \delta_{1y} \cdot \ell_D - 2C_y \cdot \delta_{2y} \cdot \ell_D = C_\xi \cdot \xi$$

където C_ξ е ъглова коравина на талиговата рама, подлежаща на теоретично или експериментално определяне.

Ако пренебрегнем цитирания ъгъл и съберем всички споменати до тук премествания (завъртания) в системата изразът за ъгъла на атака за 1-ва и 2-ра колооси окончателно добива вида:

$$(22) \quad \alpha_1 = \frac{\ell_D}{R} + \frac{1}{2\ell_D} \cdot [(\sigma_2 - \sigma_1) + (\delta_{1y} - \delta_{2y}) + (\delta_{s2} - \delta_{s1})] - \frac{(\delta_{a1x} - \delta_{i1x})}{2b_b}$$

$$(23) \quad \alpha_2 = \frac{-\ell_D}{R} + \frac{1}{2\ell_D} \cdot [(\sigma_2 - \sigma_1) + (\delta_{y_1} - \delta_{y_2}) + (\delta_{s1}^y - \delta_{s2}^y)] - \frac{(\delta_{a2}^y - \delta_{i2}^y)}{2b_b},$$

където деформацията на външната релса δ_{s1} респ. δ_{s2} може да се изрази като съотношение между страничния натиск на външната релса Y_{s1} респ. Y_{s2} и хоризонталната коравина C_s на релсата, т.е.:

$$(24) \quad \delta_{s1} = \frac{Y_{s1}}{C_s} = \frac{1}{C_s} \cdot (N_{a1} \cdot \sin \gamma_{a1} + N_{ar1} \cdot \sin \gamma_{ar1} - \mathfrak{R}_{a1y} \cdot \alpha_1 - \mathfrak{R}_{ar1y} \cdot \alpha_1)$$

$$(25) \quad \delta_{s2} = \frac{Y_{s2}}{C_s} = \frac{1}{C_s} \cdot (N_{a2} \cdot \sin \gamma_{a2} + N_{ar2} \cdot \sin \gamma_{ar2} - \mathfrak{R}_{a2y} \cdot \alpha_2 - \mathfrak{R}_{ar2y} \cdot \alpha_2),$$

За да се получи по-голяма общност и прецизност на третираните зависимости, координатата σ_j , дефинирана с напречното разстояние до обирание на конструктивната хлабина между реборда на външното колело и вътрешната стена на релсата на вертикално разстояние 10 mm под върха на релсовата глава, се въвежда за двете колооси, при което може да има и отрицателни стойности в случаите на възкачване на реборда върху релсата.

Третата група зависимости (уравнения) са от кинематично-геометричен характер[2] и се изразяват с аналитични апроксимирани или теоретично изведени функционални зависимости:

- 6 зависимости на координатата „ y ” от координатата „ σ ” при $\alpha = 0$, имащи вида $y_{kj} = y_{kj}(\sigma_j)$, а именно:

$$(26) \quad y_{a1} = y_{a1}(\sigma_1); \quad (27) \quad y_{i1} = y_{i1}(\sigma_1);$$

$$(28) \quad y_{ar1} = y_{ar1}(\sigma_1); \quad (29) \quad y_{a2} = y_{a2}(\sigma_2),$$

$$(30) \quad y_{i2} = y_{i2}(\sigma_2) \text{ и} \quad (31) \quad y_{ar2} = y_{ar2}(\sigma_2).$$

- 6 зависимости на параметъра „ r ” от координатата „ y ”, имащи вида $r_{kj} = r_{kj}(y_{kj})$:

$$(32) \quad r_{a1} = r_{a1}(y_{a1}); \quad (33) \quad r_{i1} = r_{i1}(y_{i1});$$

$$(34) \quad r_{ar1} = r_{ar1}(y_{ar1}); \quad (35) \quad r_{a2} = r_{a2}(y_{a2}),$$

$$(36) \quad r_{i2} = r_{i2}(y_{i2}) \text{ и} \quad (37) \quad r_{ar2} = r_{ar2}(y_{ar2}).$$

- 6 зависимости на параметъра „ γ ” от координатата „ y ”, имащи вида $\gamma_{kj} = \gamma_{kj}(y_{kj})$:

$$(38) \quad \gamma_{a1} = \gamma_{a1}(y_{a1}); \quad (39) \quad \gamma_{i1} = \gamma_{i1}(y_{i1});$$

$$(40) \quad \gamma_{ar1} = \gamma_{ar1}(y_{ar1}); \quad (41) \quad \gamma_{a2} = \gamma_{a2}(y_{a2}),$$

$$(42) \quad \gamma_{i2} = \gamma_{i2}(y_{i2}) \text{ и} \quad (43) \quad \gamma_{ar2} = \gamma_{ar2}(y_{ar2}).$$

Характерна особеност на функционалните зависимости от последните две групи е, че в зоната на коничните повърхнини на “бандажния профил радиусите на търкаляне $r_{kj}(y_{kj})$ са линейни функции, а ъглите на наклона $\gamma_{kj}(y_{kj})$ са

константи. В случаите на тороидални повърхнини в зоната на търкаляне на бандажния профил (UIC профил DB или БДЖ - 2), радиусите на търкаляне $r_{kj}(y_{kj})$ могат да се апроксимират аналитично със задоволително приближение като квадратни функции на координатата „ y ”, а ъглите на наклона $\gamma_{kj}(y_{kj})$ - като линейни функции на същата координата. При износен профил в зоната на търкаляне тези функционални зависимости, макар и в общи линии да следват характера на първоначалния профил, имат по-сложен характер. По-сложни са като правило и функционалните зависимости за радиусите на търкаляне и ъглите на наклона също така в преходната зона (закръглението) в основата на реборда.

Изведените уравнения на системата са общо 40, със следното разпределение:

- 18 уравнения, произтичащи от статическите условия за равновесие на двете колооси и рамата;
- 4 уравнения, за разположението в крива на талигата заедно с колоосите и рамата при отчитане на техните взаимни хоризонтални премествания и напречните деформации на релсата,
- 6 уравнения, изразяващи главната координата „ y ” на контактните точки в зависимост от координатата σ_j при $\alpha_j = 0$ и
- 12 уравнения, за геометрично – кинематичните параметри r_{kj} и γ_{kj} в контактните точки във функция от координатите y_{kj} .

Тези уравнения в най-общата постановка съдържат следните неизвестни величини, разпределени по групи както следва:

- 6 нормални сили N_{kj} в контактните точки;
- 12 геометрично-кинематични параметри в контактните точки, а именно 6 радиуси r_{kj} ($k = a, ar, i; j = 1, 2$) и 6 ъгли на наклона на бандажния профил γ_{kj} ($k = a, ar, i; j = 1, 2$);
- 6 напречни координати на контактните точки y_{kj} ($k = a, ar, i; j = 1, 2$);
- 4 параметри, определящи положението на колоосите спрямо релсовия път - σ_j ($j = 1, 2$) и α_j ($j = 1, 2$);
- 6 параметри, представляващи хоризонтални премествания на буксите спрямо талиговата рама - δ_{kix} ($k = a, i; j = 1, 2$) и δ_{jy} ($j = 1, 2$);
- 2 величини, за еластичните деформации на релсата - δ_{sj} ($j = 1, 2$);
- 2 величини, за действителните еквивалентни радиуси на колоосите - r_{ej} ($j = 1, 2$);
- 1 надлъжна сила в централния лагер, преодоляваща съпротивлението при движение - P_{cx} ;
- 4 вертикални сили F_{kj} ($k = a, i, j = 1, 2$), между рамата и колоосите.

Броят на неизвестните в системата се получава 43 (т.е. с 3 повече от броя на уравненията), но решението винаги е възможно като се използват някои дадености при експлоатационните условия – например едноточков контакт на външното колело от задната колоос и др. При необходимост е възможно използването на зависимостта за еквивалентния радиус:

$$(44) \quad r_e = \frac{P_a \cdot r_a + P_i \cdot r_i}{P_a \cdot \left(1 + \frac{\Delta R_a}{R}\right) + P_i \cdot \left(1 - \frac{\Delta R_i}{R}\right)},$$

която при прилагане за двете колооци дава още две уравнения.

При конкретните приложения на предложения метод, може да бъде намален и броят на уравненията в системата: например при едноточков контакт на колелата от двете колооци както е в повечето случаи, броят на уравненията и неизвестните в системата е 34. Ако се използва средния радиус на търкаляне

$r_{mj} = \frac{r_{aj} + r_{ij}}{2}$, вместо еквивалентния радиус $r_{ej} = \frac{V}{\omega_j}$ и ако работата по

апроксимирането на надлъжното относително плъзгане $u_{jx} = \pm \left(\frac{s}{R} - \frac{\Delta r_j}{r_{mj}} \right) = f(\sigma_j)$

бъде изнесена в рамките на предварителния модел, броят на уравненията и неизвестните в системата се получава 26.

Системата може да бъде значително опростена чрез линеаризиране и привеждане към условна равнина система, при което се премахват нормалните сили N_{kj} и ъглите на наклона γ_{kj} и се въвеждат напречни направляващи усилия в ребордите Y_j и вертикални натоварвания “колело-релса” P_{aj} и P_{ij} , а вместо еквивалентния радиус r_{ej} се използва средният радиус. При различни подходи броят на уравненията и неизвестните може да се намали на 12 ÷ 22.

Съгласно приближените формули за относителната скорост на надлъжно плъзгане в контактни точки на външните респ. вътрешни колела може да се напише $u_{kix} = \pm \left(\frac{s}{R} - \frac{\Delta r_j}{r_{mj}} \right)$ („+” за външните колела, а знак „-” - за вътрешните), а за относителната скорост на хоризонтално-напречно плъзгане - $u_{kijy} = \alpha_j$ (α_j ($j=1,2$) - ъгъл на атака).

При предположение, че относителната скорост на плъзгане е в зоната на сухо триене (както при опростения равнинен модел) и в четири контактни точки на колелата, се предава еднакво вертикално натоварване Π [3]. Компонентите на силите на плъзгане T_{kj} в надлъжно и хоризонтално напречно направление са:

$$(45) \quad T_{a1x} = \mu \cdot \Pi \cdot \frac{\left(\frac{s}{R} - \frac{\Delta r_1}{r_{m1}} \right)}{\sqrt{\left(\frac{s}{R} - \frac{\Delta r_1}{r_{m1}} \right)^2 + \alpha_1^2}}, \quad T_{a1y} = \mu \cdot \Pi \cdot \frac{\alpha_1}{\sqrt{\left(\frac{s}{R} - \frac{\Delta r_1}{r_{m1}} \right)^2 + \alpha_1^2}}$$

$$(46) \quad T_{i1x} = \mu \cdot \Pi \cdot \frac{\left(\frac{-s}{R} + \frac{\Delta r_1}{r_{m1}} \right)}{\sqrt{\left(\frac{-s}{R} + \frac{\Delta r_1}{r_{m1}} \right)^2 + \alpha_1^2}}, \quad T_{i1y} = \mu \cdot \Pi \cdot \frac{\alpha_1}{\sqrt{\left(\frac{-s}{R} + \frac{\Delta r_1}{r_{m1}} \right)^2 + \alpha_1^2}}$$

$$(47) \quad T_{a2x} = \mu \cdot \Pi \cdot \frac{\left(\frac{s}{R} - \frac{\Delta r_2}{r_{m2}} \right)}{\sqrt{\left(\frac{s}{R} - \frac{\Delta r_2}{r_{m2}} \right)^2 + \alpha_2^2}}, \quad T_{a2y} = \mu \cdot \Pi \cdot \frac{\alpha_2}{\sqrt{\left(\frac{s}{R} - \frac{\Delta r_2}{r_{m2}} \right)^2 + \alpha_2^2}}$$

$$(48) \quad T_{i1x} = \mu \cdot \Pi \cdot \frac{\left(\frac{-s}{R} + \frac{\Delta r_2}{r_{m2}} \right)}{\sqrt{\left(\frac{-s}{R} + \frac{\Delta r_2}{r_{m2}} \right)^2 + \alpha_2^2}}, \quad T_{i2y} = \mu \cdot \Pi \cdot \frac{\alpha_2}{\sqrt{\left(\frac{-s}{R} + \frac{\Delta r_2}{r_{m2}} \right)^2 + \alpha_2^2}}$$

При заместване в горните формули на α_1 и α_2 съответно с $\frac{X_1}{R}$ и $\frac{X_2}{R}$ (където X_1 и X_2 са полюсните разстояния за 1-ва респ. 2-ра колооси) и при умножаване на числителя и знаменателя с R , с помощта на елементарни преобразувания, на същите може да се придаде следният вид:

$$(49) \quad T_{a1x} = \mu \cdot \Pi \cdot \frac{\left(s - R \cdot \frac{\Delta r_1}{r_{m1}} \right)}{\sqrt{\left(s - R \cdot \frac{\Delta r_1}{r_{m1}} \right)^2 + X_1^2}}, \quad T_{a1y} = \mu \cdot \Pi \cdot \frac{X_1}{\sqrt{\left(s - R \cdot \frac{\Delta r_1}{r_{m1}} \right)^2 + X_1^2}}$$

$$(50) \quad T_{i1x} = -\mu \cdot \Pi \cdot \frac{\left(s - R \cdot \frac{\Delta r_1}{r_{m1}} \right)}{\sqrt{\left(s - R \cdot \frac{\Delta r_1}{r_{m1}} \right)^2 + X_1^2}}, \quad T_{i1y} = \mu \cdot \Pi \cdot \frac{X_1}{\sqrt{\left(s - R \cdot \frac{\Delta r_1}{r_{m1}} \right)^2 + X_1^2}}$$

$$(51) \quad T_{a2x} = \mu \cdot \Pi \cdot \frac{\left(s - R \cdot \frac{\Delta r_2}{r_{m2}} \right)}{\sqrt{\left(s - R \cdot \frac{\Delta r_2}{r_{m2}} \right)^2 + X_2^2}}, \quad T_{a2y} = \mu \cdot \Pi \cdot \frac{X_2}{\sqrt{\left(s - R \cdot \frac{\Delta r_2}{r_{m2}} \right)^2 + X_2^2}}$$

$$(52) \quad T_{i1x} = -\mu \cdot \Pi \cdot \frac{\left(s - R \cdot \frac{\Delta r_2}{r_{m2}} \right)}{\sqrt{\left(s - R \cdot \frac{\Delta r_2}{r_{m2}} \right)^2 + X_2^2}}, \quad T_{i2y} = \mu \cdot \Pi \cdot \frac{X_2}{\sqrt{\left(s - R \cdot \frac{\Delta r_2}{r_{m2}} \right)^2 + X_2^2}}$$

Получените формули за силата на плъзгане в контактните точки на колелата се различават от тези на опростения равнинен модел само с това, че навсякъде величината „ s ” е заменена с $\left(s - R \cdot \frac{\Delta r_j}{r_{mj}} \right)$. Относителната скорост на надлъжно плъзгане в контактните точки при опростения равнинен модел не съдържа компонентата $\frac{-\Delta r_j}{r_{mj}}$ (от разлики между радиусите на търкаляне на двете

колела на колооста), а съдържа само компонентата $\frac{s}{R}$ (от разликата между дължините на двете релсови нишки). Пренебрегването на компонентата $\frac{-\Delta r_j}{r_{mj}}$ е свързано с грешки за атакуващата колоос и особено в случаите на движение в криви със средни и големи радиуси при максимално допустими скорости.

Решаване на предварителния модел – числен пример

Определяне на координатите на контактните точки и свързаните с тях величини чрез търсене на допирни (контактни) точки между две равнинни криви – на бандажния профил и на профила на релсовата глава [2],[3],[4].

Координатите y_{aj} и y_{ij} в зависимост от хлабината σ_j се определят по следните зависимости:

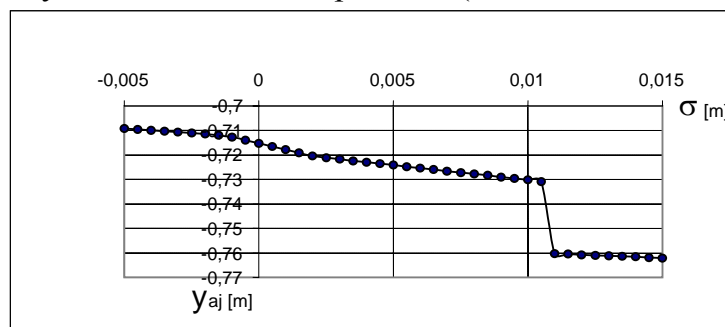
$$(53) \quad y_{aj} = \begin{cases} -0,75531 - 0,4521 \cdot \sigma_j & \text{при } 0,011\text{m} < \sigma_j \leq 0,015\text{m} \\ -0,71821 - 1,2 \cdot \sigma_j & \text{при } 0,0025\text{m} < \sigma_j \leq 0,011\text{m} \\ -0,71526 - 2,6 \cdot \sigma_j & \text{при } -0,0015\text{m} \leq \sigma_j \leq 0,0025\text{m} \end{cases}$$

$$(54) \quad y_{ij} = \begin{cases} 0,768875531 - 0,4521 \cdot \sigma_j & \text{при } 0,005\text{m} < \sigma_j \leq 0,015\text{m} \\ 0,76965 - 0,44 \cdot \sigma_j & \text{при } -0,0015\text{m} \leq \sigma_j \leq 0,005\text{m} \end{cases}$$

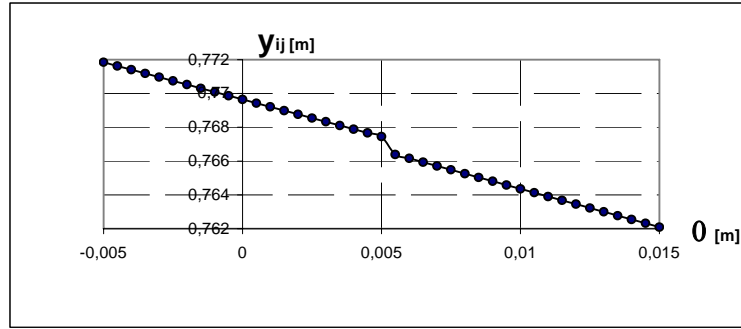
На фиг.2.5а и фиг.2.5б. са представени графиките на координатите y_{aj} и y_{ij} в зависимост от хлабината σ_j , при следните данни:

- вагонна колоос:
диаметър **920 mm** и унифициран бандажен профил по UIC – нов
- релси:
- радиус на средната част на главата **400mm**,
- радиус на закръглениято при вътрешния ръб **8mm**,
- разположени с наклон **1/40** навътре при уширение в крива **15mm**,
- общо износване **6mm** или хлабина “реборд-релса”:
 $\Delta = 1435 - 1426 + 15 + 6 = 30\text{mm}$.

Получава се двуточков контакт на релсите (едноточков „колело-релса”).



фиг.2.5а. Графика на координатите y_{aj} в зависимост от хлабината σ_j



фиг.2.56. Графика на координатите y_{ij} в зависимост от хлабината

Зависимостите между радиуса на контактната точка и напречната координата т.е. $r_{aj} = r_{aj}(y_{aj})$, $r_{ij} = r_{ij}(y_{ij})$ се определят непосредствено в аналитична форма от зададения бандажен профил, съставен в контактната част от дъги от окръжности и при начални условия $r_{aj} = 0,46m$ (при $y_{aj} = -0,75m$), и $r_{ij} = 0,46m$ (при $y_{ij} = 0,75m$) имат следния вид:

$$(55) \quad r_{aj} = \begin{cases} 0,12989 + \sqrt{0,33^2 - (y_{aj} + 0,75825)^2} & \text{при } y_{aj} \leq -0,76051m \\ 6,5 \cdot y_{aj}^2 + 9,672 \cdot y_{aj} + 4,058287 & \text{при } -0,76051m < y_{aj} < -0,72233m \\ 0,475947 - \sqrt{0,013^2 - (y_{aj} + 0,725366)^2} & \text{при } y_{aj} \geq -0,72233m \end{cases}$$

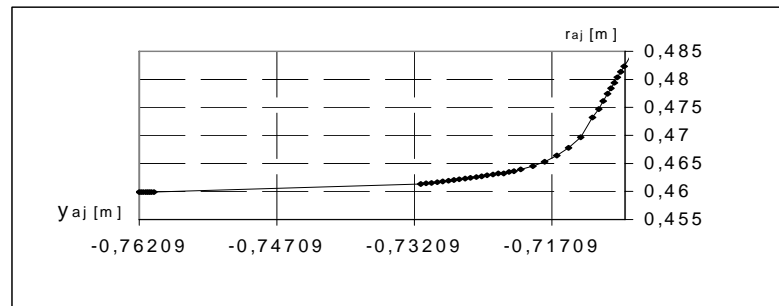
$$(56) \quad r_{ij} = 0,12989 + \sqrt{0,33^2 - (y_{ij} - 0,75825)^2} \quad \text{при } 0,76209m \leq y_{ij} \leq 0,77059m$$

На базата на тези зависимости чрез диференциране се определят и зависимостите на тангенса на ъгъла на наклона γ_{aj} и γ_{ij} от координатите на контактните точки y_{aj} съответно y_{ij} т.е. зависимостите $\gamma_{aj} = f'_1(y_{aj})$ и $\gamma_{ij} = f'_2(y_{ij})$, които за зададения профил UIC имат вида:

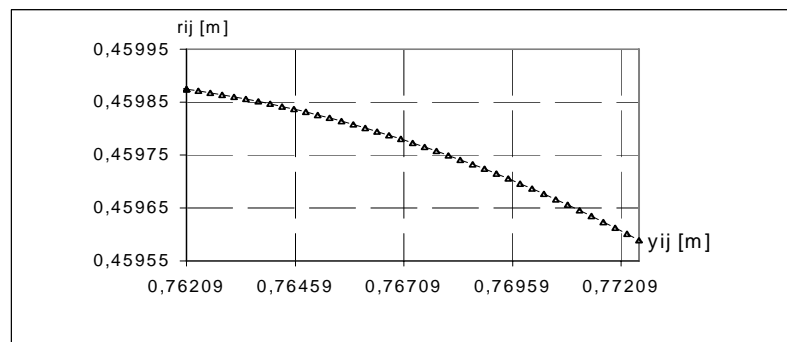
$$(57) \quad \gamma_{aj} = \begin{cases} \arctg \left\{ \frac{-(y_{aj} + 0,75825)}{\sqrt{0,33^2 - (y_{aj} + 0,75825)^2}} \right\} & \text{при } y_{aj} \leq -0,76051m \\ \arctg \left\{ \frac{(y_{aj} + 0,744)}{\sqrt{0,08^2 - (y_{aj} + 0,744)^2}} \right\} & \text{при } -0,76051m < y_{aj} < -0,72233m \\ \arctg \left\{ \frac{(y_{aj} + 0,724575)}{\sqrt{0,013^2 - (y_{aj} + 0,724575)^2}} \right\} & \text{при } y_{aj} \geq -0,72233m \end{cases}$$

$$(58) \quad \gamma_{ij} = \begin{cases} \arctg \left\{ \frac{-(y_{ij} - 0,75825)}{\sqrt{0,33^2 - (y_{ij} - 0,75825)^2}} \right\} & \text{при } 0,76209m \leq y_{ij} \leq 0,77059m \end{cases}$$

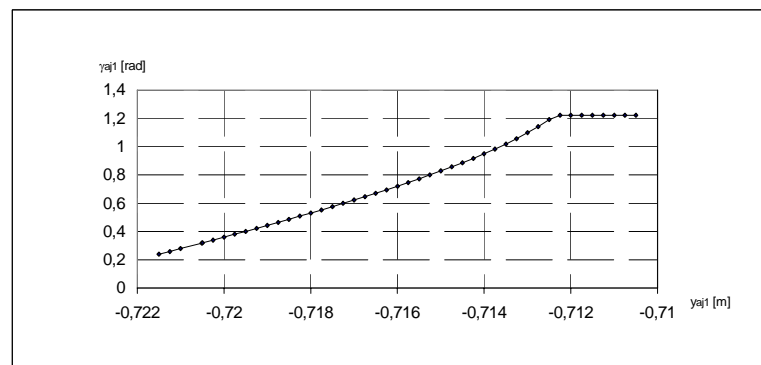
На фиг.2.6а и фиг.2.6б са представени графиките за радиуса $r_{aj} = r_{aj}(y_{aj})$ и $r_{ij} = r_{ij}(y_{ij})$, а на фиг.2.7а и фиг.2.7б ъгъла на наклона $\gamma_{aj} = \gamma_{aj}(y_{aj})$ и $\gamma_{ij} = \gamma_{ij}(y_{ij})$ на контактните точки за външното и вътрешно колела при данните от горния пример.



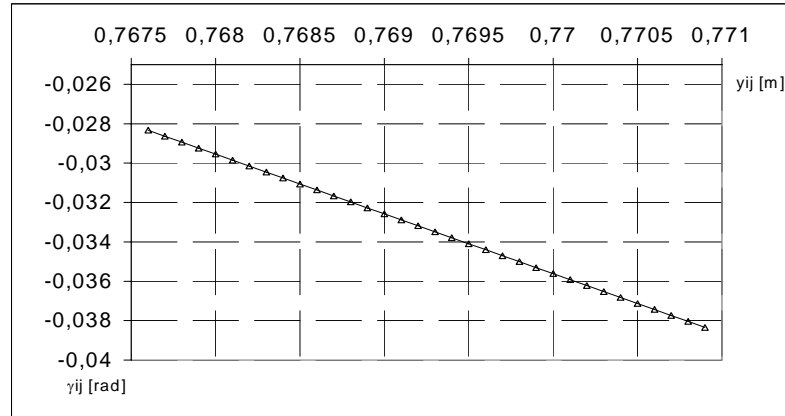
фиг.2.6а. Графика на радиусите r_{aj} в зависимост от координатата y_{aj}



фиг.2.6.б. Графика на радиусите r_{ij} в зависимост от координатата y_{ij}



фиг.2.7а. Графика на ъгъла на наклона γ_{aj} в зависимост от координатата y_{aj}



фиг.2.76. Графика на ъгъла на наклона γ_{ij} в зависимост от координатата y_{ij}

Заклучение

1. Съставена е система от 40 уравнения, от които 18 - произтичат от статическите условия за равновесие на двете колооси и рамата; 4 уравнения - от разположението в крива на талигата заедно с колоосите и рамата при отчитане на техните взаимни хоризонтални премествания и напречните деформации на релсата; 6 уравнения, изразяващи главната координата „y” на контактните точки в зависимост от координатата σ_j при $\alpha_j = 0$ и 12 уравнения, за геометрично – кинематичните параметри r_{kj} и γ_{kj} в контактните точки във функция от координатите y_{kj}

2. Създаден и използван е опростен равнинен модел с повишена точност, чрез въвеждането на коригиращ фактор $-R \cdot \frac{\Delta r_j}{r_{mj}}$ (вместо величината „s” се

използва $\left(s - R \cdot \frac{\Delta r_j}{r_{mj}} \right)$.)

3. Съставен е спомагателен модел, чрез който са определени координатите на контактните точки и свързаните с тях величини чрез търсене на допирни (контактни) точки между две равнини криви – на бандажния профил и на профила на релсовата глава.

Литература

[1] Стоянов В., Метод на квазистатично вписване на двуосна железопътна талига в крива, сп. Механика, транспорт, комуникации, №1, 2009, BG ÷BG .

[2] АТМАДЖОВА, Д. Метод за определяне на характеристиките на буксовите връзки с рамата на талига за пътнически вагони, Дис., С., 2001

[3] Атмаджова Д. *Модели за изследване ходовата част на железопътен подвижен състав при движението му в крив участък от пътя*. София, Електронно списание “Механика Транспорт Комуникации“ бр. 1, 2007, BG ÷BG

[4] Атмаджова Д. Изследвания на рециклирани пътнически вагони. София, XIII НК с международно участие на ВТУ “Т. Каблешков”, 2003, с. 197-203